



CITTA' DI MESAGNE

Impianto agrovoltaico "Fruttidoro"

della potenza di 20,00 MW in immissione e 23,49 MW in DC
PROGETTO DEFINITIVO

COMMITTENTE:



SONNEDIX SANTA CATERINA s.r.l.
Via Ettore de Sonnaz, 19 - 10121 Torino (TO)
P.IVA: 12214320017
Tel. 02 49524310
emailpec: sxcaterina.pec@maildoc.it

PROGETTAZIONE:



TEKNE srl
Via Vincenzo Gioberti, 11 - 76123 ANDRIA
Tel +39 0883 553714 - 552841 - Fax +39 0883 552915
www.gruppolekne.it e-mail: contatti@gruppolekne.it



PROGETTISTA:

Dott. Ing. Renato Pertuso
(Direttore Tecnico)

LEGALE RAPPRESENTANTE:

dott. Renato Mansi

CONSULENTE:

GEOPROVE srl
Dott. Geol. Marcello De Donatis



PD

PROGETTO DEFINITIVO

INDAGINI SISMICHE STRUMENTALI

Tavola: **RE02.3**

Filename:
TKA595-PD-RE023-Semica-R0.pdf

Data 1°emissione: Febbraio 2022	Redatto: <i>M. DE DONATIS</i>	Verificato: <i>G. PERTOSO</i>	Approvato: <i>R. PERTUSO</i>	Scala:	Protocollo Tekne:
n° revisione					
1					
2					
3					
4					

TKA595

LABORATORIO MATERIALI DA COSTRUZIONE
LABORATORIO TERRE E ROCCE
INDAGINI GEOGNOSTICHE E GEOFISICHE

GEOPROVE
S.R.L.

COMUNI DI MESAGNE E LATIANO

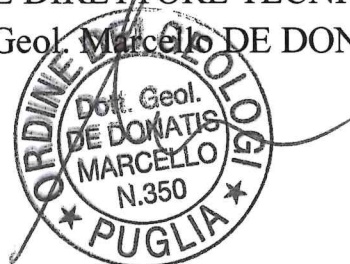
(PROVINCIA DI BRINDISI)

COMMITTENTE:
SONNEDIX SANTA CATERINA SRL

**INDAGINI SISMICHE E RELAZIONE SULLA
MODELLAZIONE SISMICA E “PERICOLOSITA’
SISMICA DI BASE” DI SUPPORTO AD UN PROGETTO
DI REALIZZAZIONE DI UN IMPIANTO
AGROVOLTAICO**

Ruffano, febbraio 2022

IL DIRETTORE TECNICO
Dott. Geol. ~~Marcello~~ DE DONATIS



Autorizzazione ministeriale ad effettuare e certificare prove su materiali da costruzione DM 275 del 12 giugno 2018.

Autorizzazione ministeriale ad effettuare e certificare prove su terre, rocce e prove in sito DM 278 del 14 giugno 2018.



ISO 14001:2015, n. SA 00014/19
OHSAS 18001:2007, n. SA 00015/19



SOA 05208 II Livello



Organismo di Certificazione
AZIENDA CON SISTEMA DI GESTIONE CERTIFICATO
UNI EN ISO 9001

GEOPROVE S.R.L. P. IVA 03940580750 • Capitale Sociale € 500.000,00 • Iscrizione alla CCIAA 255978

Sede Legale e Laboratorio Terre e Rocce Via Il Giugno 2, 73049 Ruffano (LE) • Laboratorio Materiali Via Benedetto Falcone snc ZI 73049 Ruffano (LE) •

Unità Locale Via Olanda, Zona Industriale Surbo, 73010 Lecce (LE) • Telefono e Fax 0833 692992 • Cell. 329 359 9093 | www.geoprove.eu • info@geoprove.eu

INDICE

PREMESSA.....	2
INQUADRAMENTO GEOGRAFICO	3
CARATTERI MORFOLOGICI E GEOLOGICI.....	3
RISCHIO SISMICO DEI COMUNI DI INDAGINE	5
INDAGINE GEOGNOSTICA	7
<i>Sismica con metodologia Masw (multichannel analysis of surface waves).....</i>	<i>7</i>
ELABORAZIONE PARAMETRI SISMICI	20
<i>Pericolosità' sismica.....</i>	<i>31</i>

PREMESSA

La società Geoprove s.r.l. di Ruffano (Le) su incarico della società SONNEDIX Santa Caterina SRL, ha eseguito uno studio geologico-tecnico e sismico di supporto ad un progetto di un impianto agrovoltaiico da realizzare nei territori comunali di Mesagne (a nord di S.S.7, ad est di Via Vicinale Monopoli-Terranova) e Latiano, ad est della S.P. n. 46.

Al fine di verificare la "pericolosità sismica di base" del sito in oggetto ed elaborare una relazione sulla modellazione sismica concernente la pericolosità sismica di base sono state eseguite delle indagini Masw sulle due aree interessate dal progetto (impianto agrovoltaiico e sottostazione).

Supporta le indagini un rilievo morfologico dell'area e geologico-stratigrafico.

Le indagini Masw hanno poi permesso di individuare la categoria sismica del suolo di fondazione.

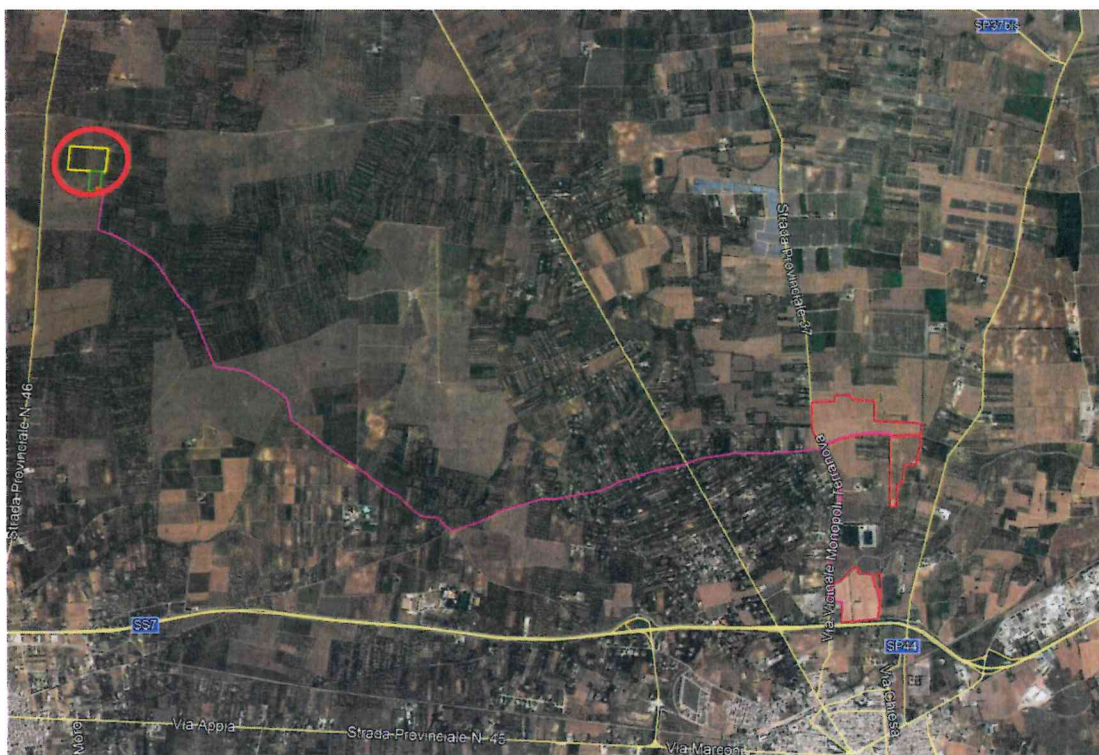
INQUADRAMENTO GEOGRAFICO

L'area indagata è ubicata nei territori comunali di Mesagne (a nord di S.S.7, ad est di Via Vicinale Monopoli-Terranova) e Latiano, ad est della S.P. n. 46.

La quota topografica si attesta tra 63 e 58 nell'area interessata dall'impianto, degradando verso nord. Si trova a 107 metri l'area interessata dalle opere di connessione a nord di Latiano.

L'area di indagine è individuata rispettivamente dalle seguenti coordinate geografiche:

- Latitudine : 40° 35' 11'' N Longitudine : 17° 48' 16'' E (impianto)
- Latitudine : 40° 35' 47'' N Longitudine : 17° 43' 11'' E



Area di indagine, immagine da Google Earth ®

CARATTERI MORFOLOGICI E GEOLOGICI

L'area indagata ricade nel foglio 203 Tavoletta di Brindisi della Carta Geologica d'Italia scala 1:100.000.

La morfologia risulta pianeggiante ed è posizionata ad una quota topografica di 107 metri s.l.m., in corrispondenza della sottostazione; degrada verso sud fino ad arrivare a quote di 63-58 metri in agro di Mesagne dove è prevista l'installazione dell'impianto agrovoltico.

Nell'area interessata dall'installazione dell'impianto affiorano le Sabbie Pleistoceniche, un deposito costituito da sabbie sciolte con a luoghi intercalati livelli calcarenitici ben cementati. Tuttavia nell'area interessata dall'impianto si rinviene il membro calcarenitico della formazione (livello Q_c^1).

La categoria topografica dell'area di indagine è T1 di "Superfici pianeggianti, pendii e rilievi isoalti con inclinazione media inferiore o uguale a 15°".

RISCHIO SISMICO DEI COMUNI DI INDAGINE

La **classificazione sismica** del territorio nazionale ha introdotto **normative tecniche** specifiche per le costruzioni di edifici, ponti ed altre opere in aree geografiche caratterizzate dal medesimo rischio sismico.

In basso è riportata la **zona sismica** per il territorio di indagine, indicata nell'Ordinanza del Presidente del Consiglio dei Ministri n. 3274/2003, aggiornata con la Delibera della Giunta Regionale della Puglia n. 153 del 2.03.2004.

Zona sismica	Zona con pericolosità sismica molto bassa.
4	E' la zona meno pericolosa dove le possibilità di danni sismici sono basse.

I criteri per l'aggiornamento della mappa di **pericolosità sismica** sono stati definiti nell'Ordinanza del PCM n. 3519/2006, che ha suddiviso l'intero territorio nazionale in quattro zone sismiche sulla base del valore dell'accelerazione orizzontale massima su suolo rigido o pianeggiante **ag**, che ha una probabilità del 10% di essere superata in 50 anni.

<i>Zona sismica</i>	<i>Descrizione</i>	<i>accelerazione con probabilità di superamento del 10% in 50 anni [ag]</i>	<i>accelerazione orizzontale massima convenzionale (Norme Tecniche) [ag]</i>
1	Indica la zona più pericolosa, dove possono verificarsi fortissimi terremoti.	$ag > 0,25 \text{ g}$	0,35 g
2	Zona dove possono verificarsi forti terremoti.	$0,15 < ag \leq 0,25 \text{ g}$	0,25 g
3	Zona che può essere soggetta a forti terremoti ma rari.	$0,05 < ag \leq 0,15 \text{ g}$	0,15 g
4	E' la zona meno pericolosa, dove i terremoti sono rari ed è facoltà delle Regioni prescrivere l'obbligo della progettazione antisismica.	$ag \leq 0,05 \text{ g}$	0,05 g

INDAGINE GEOGNOSTICA

L'indagine è stata effettuata in conformità al D.M. 17.01.2018 ed è stata finalizzata alla raccolta di dati qualitativi e quantitativi occorrenti per la previsione del comportamento dell'opera in rapporto alle caratteristiche del terreno.

Per individuare la categoria sismica del suolo di fondazione esecuzione sono stati eseguiti n.2 profili sismici Masw (uno in corrispondenza dell'impianto, in Mesagne, ed uno laddove è prevista la realizzazione della sottostazione, agro di Latiano).

Sismica con metodologia Masw (multichannel analysis of surface waves)

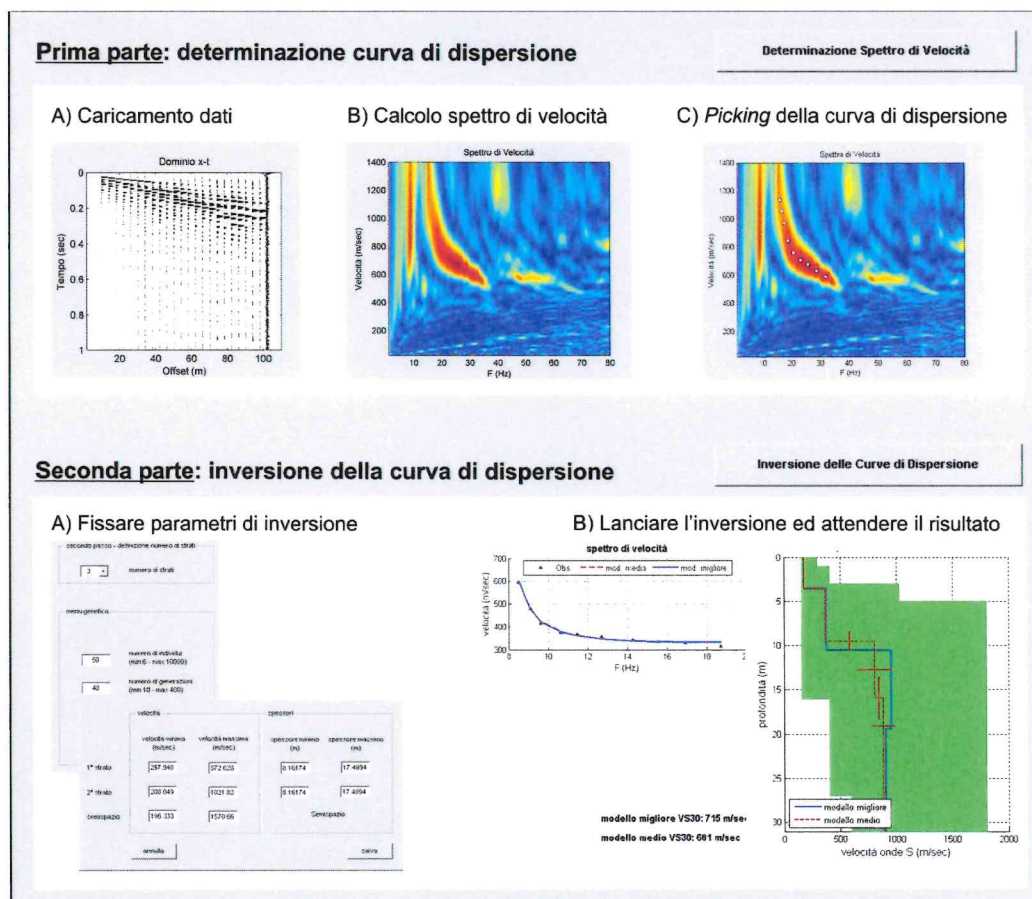
Per individuare la categoria sismica del suolo di fondazione è stata eseguita un'indagine di sismica con metodologia MASW nell'area indagata.

Il metodo MASW (Multichannel Analysis of Surface Waves) è una tecnica di indagine non invasiva (non è necessario eseguire perforazioni o scavi), che individua il profilo di velocità delle onde di taglio verticali V_s , basandosi sulla misura delle onde superficiali fatta in corrispondenza di diversi sensori (accelerometri o geofoni) posti sulla superficie del suolo.

Le onde superficiali di Rayleigh, durante la loro propagazione vengono registrate lungo lo stendimento di geofoni (da 4.5 Hz) e vengono successivamente analizzate attraverso complesse tecniche computazionali basate su un approccio di riconoscimento di modelli multistrato di terreno.

La metodologia per la realizzazione di una indagine sismica MASW prevede almeno i seguenti passi:

- Acquisizioni multicanale dei segnali sismici, generati da una sorgente energizzante artificiale (maglio battente su piastra in alluminio), lungo uno stendimento rettilineo di sorgente-geofoni
- Estrazione dei modi dalle curve di dispersione della velocità di fase delle onde superficiali di Rayleigh;
- Inversione delle curve di dispersione per ottenere profili verticali delle VS.



Gli algoritmi genetici rappresentano un tipo di procedura di ottimizzazione appartenente alla classe degli algoritmi euristici (o anche global-search methods o soft computing).

Rispetto ai comuni metodi di inversione lineare basati su metodi del gradiente (matrice Jacobiana), queste tecniche di inversione offrono un'affidabilità del risultato di gran lunga superiore per precisione e completezza.

I comuni metodi lineari forniscono infatti soluzioni che dipendono pesantemente dal modello iniziale di partenza che l'utente deve necessariamente fornire. Per la natura del problema (inversione delle curve di dispersione), la grande quantità di minimi locali porta infatti ad attrarre il modello iniziale verso un minimo locale che può essere significativamente diverso da quello reale (o globale).

In altre parole, i metodi lineari richiedono che il modello di partenza sia già di per sé vicinissimo alla soluzione reale. In caso contrario il rischio è quello di fornire soluzioni erranee.

Gli algoritmi genetici (come altri analoghi) offrono invece un'esplorazione molto più ampia delle possibili soluzioni.

Le NTC18 effettuano la classificazione del sottosuolo in base alle condizioni stratigrafiche ed ai valori della velocità equivalente di propagazione delle onde di taglio, V_{Seq} (in m/s), definita dall'espressione:

$$V_{Seq} = \frac{H}{\sum_i \frac{h_i}{V_{S,i}}}$$

Con:

h_i spessore dell' i -esimo strato;

$V_{s,i}$ velocità delle onde di taglio nell' i -esimo strato;

N numero di strati;

H profondità del substrato, definito come quella formazione costituita da roccia o terreno molto rigido, caratterizzata da V_S non inferiore a 800 m/s.

Per depositi con profondità H del substrato superiore a 30 m, la velocità equivalente delle onde di taglio $V_{s,eq}$ è definita dal parametro $V_{S,30}$, ottenuto ponendo $H=30$ m nella precedente espressione e considerando le proprietà degli strati di terreno fino a tale profondità.

Con la prima indagine Masw non è stato individuato il substrato sismico nei primi 30.0 metri.; la secondo invece lo individua già in affioramento.

Con le indagini eseguite è stato ricavato l'andamento delle V_s e da qui calcolato il valore della $V_{s,eq}$ risultato di:

Masw 1: $V_{s,30} \& V_{s,eq} = 512$ m/s.

Masw 2: $V_{s,30} \& V_{s,eq} = 981 - 0$ m/s.

Nel primo caso la categoria sismica del suolo di fondazione è la B, nel seconda la A.

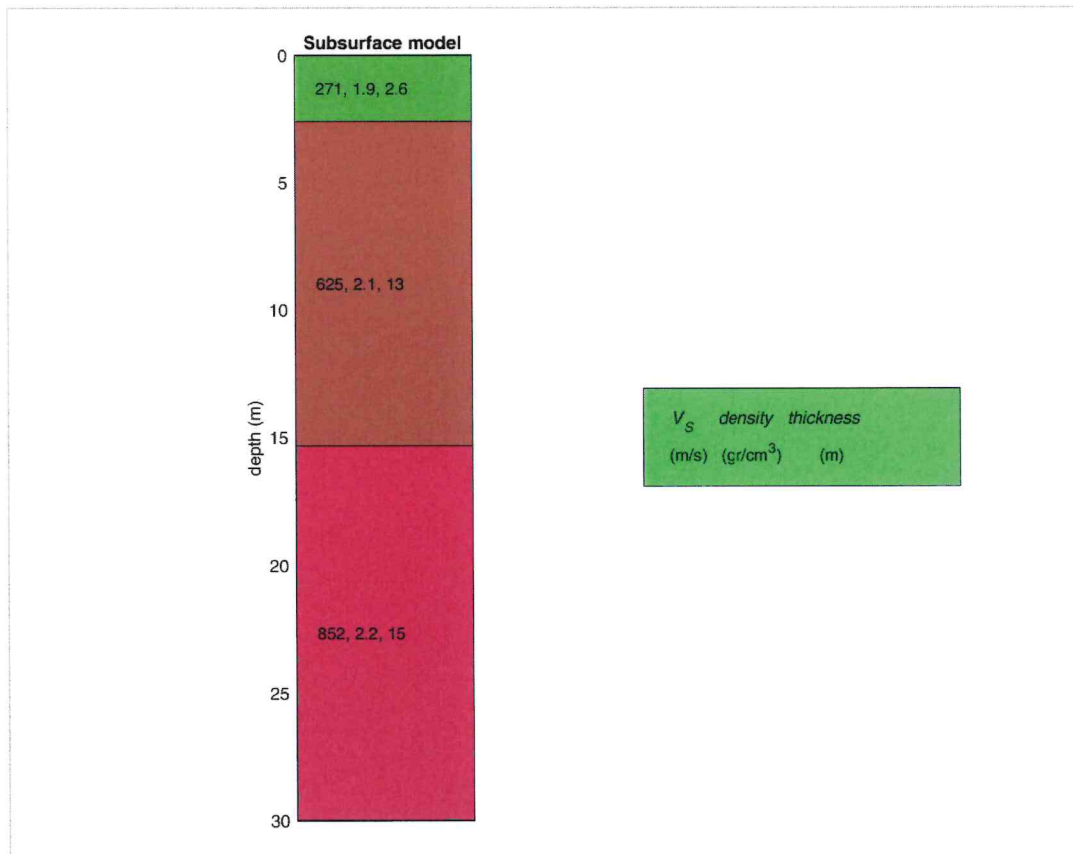
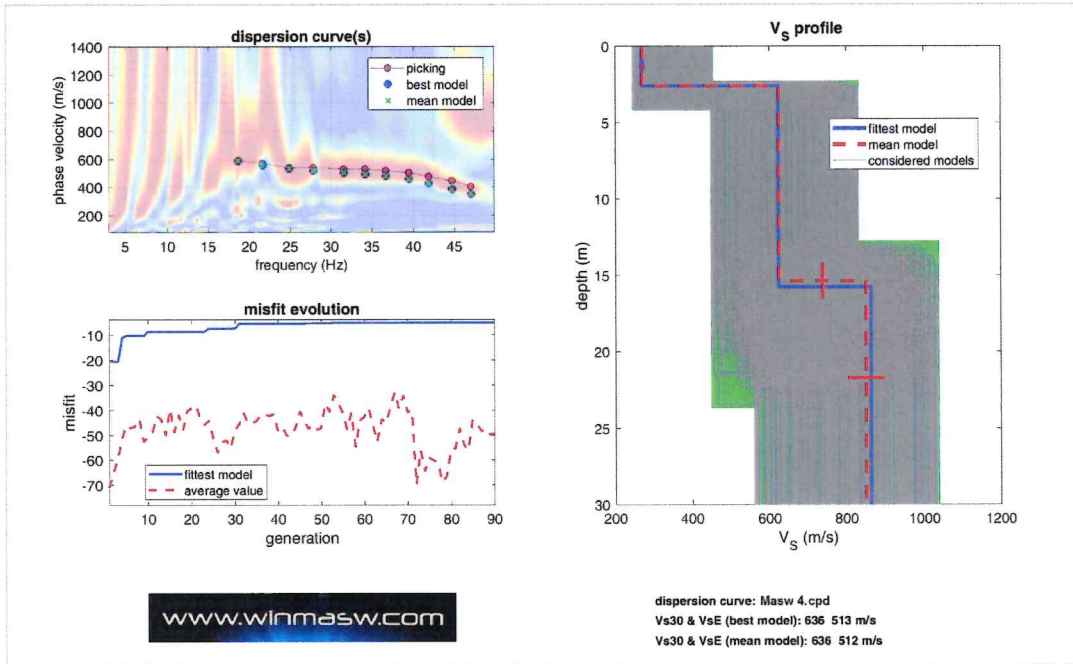


Esecuzione profilo Masw 1 – Area impianto agrovoltaico



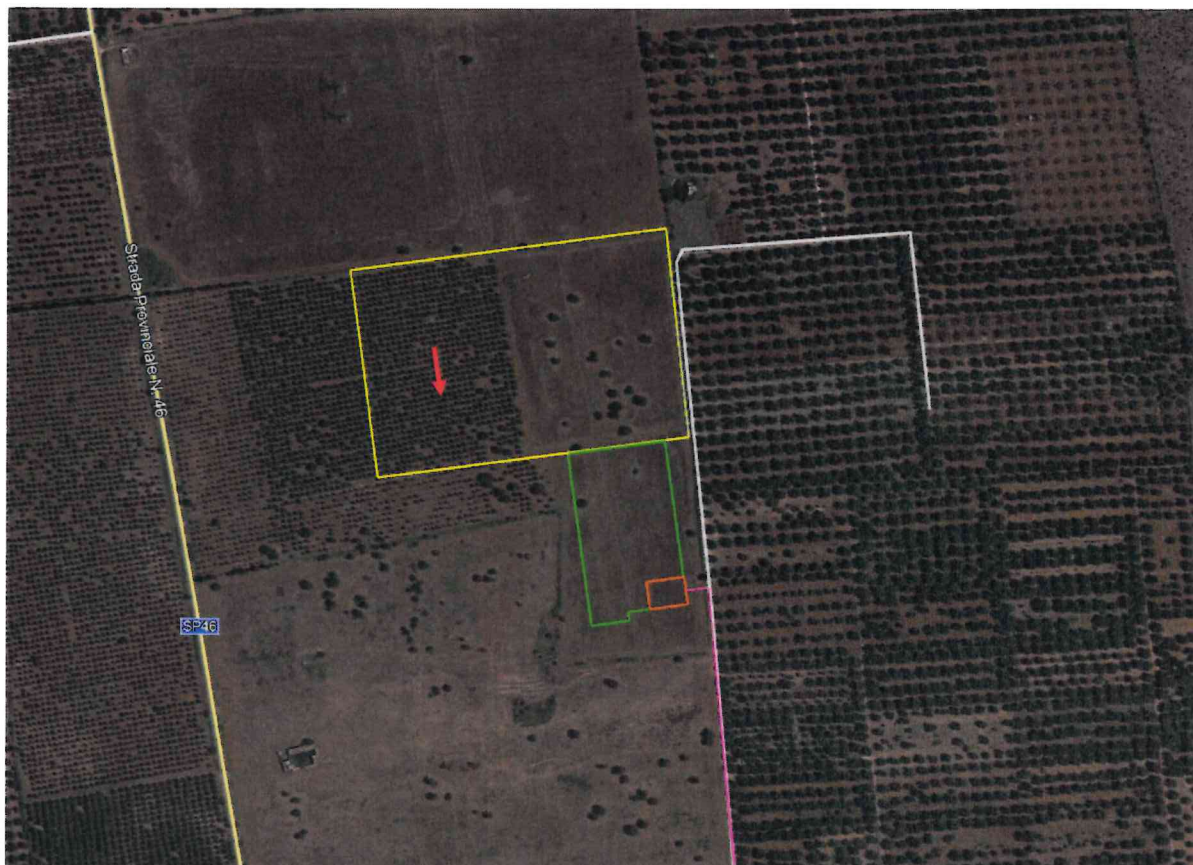
Ubicazione indagine Masw c/o impianto (Mesagne)

MASW 1



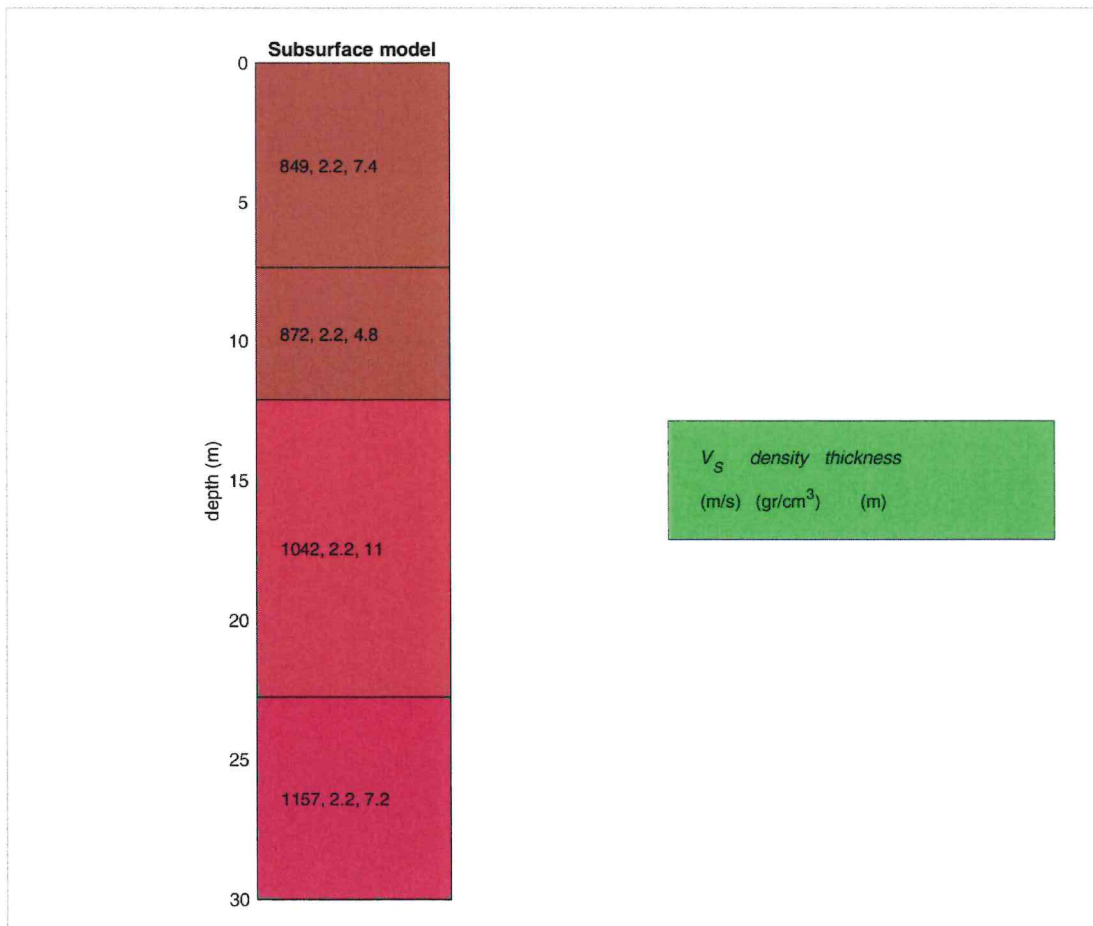
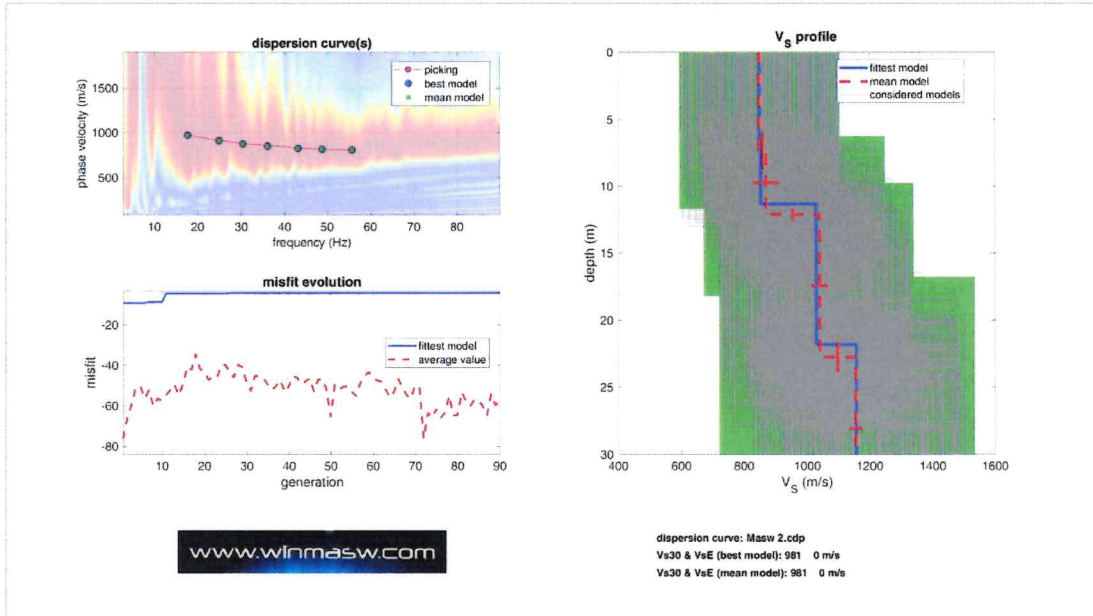


Esecuzione profilo Masw 2 – Area sottostazione



Ubicazione indagine sismica in agro di Latiano, c/o sottostazione

MASW 2



CATEGORIE DI SOTTOSUOLO

Le categorie di sottosuolo individuate dal Decreto Ministeriale 17 Gennaio 2018, recante “Norme Tecniche per le costruzioni” sono le seguenti:

- A) ***Ammassi rocciosi affioranti o terreni molto rigidi*** caratterizzati da valori di velocità delle onde di taglio superiori a 800 m/s, eventualmente comprendenti in superficie terreni di caratteristiche meccaniche più scadenti con spessore massimo pari a 3 m.
- B) ***Rocce tenere e depositi di terreni a grana grossa molto addensati o terreni a grana fina molto consistenti***, caratterizzati da un miglioramento delle proprietà meccaniche con la profondità e da valori di velocità equivalente compresi tra 360 m/s e 800 m/s.
- C) ***Depositi di terreni a grana grossa mediamente addensati o terreni a grana fina mediamente consistenti*** con profondità del substrato superiori a 30 m, caratterizzati da un miglioramento delle proprietà meccaniche con la profondità e da valori di velocità equivalente compresi tra 180 m/s e 360 m/s.
- D) ***Depositi di terreni a grana grossa scarsamente addensati o di terreni a grana fina scarsamente consistenti***, con profondità del substrato superiori a 30 m, caratterizzati da un miglioramento delle proprietà meccaniche con la profondità e da valori di velocità equivalente compresi tra 100 e 180 m/s.
- E) ***Terreni con caratteristiche e valori di velocità equivalente riconducibili a quelle definite per le categorie C o D***, con profondità del substrato non superiore a 30 m.

Sulla base della classificazione topografica il sito in esame (impianto agrovoltaico) rientra nella categoria topografica T1.



Immagine della maglia elementare del reticolo di riferimento

Coordinate
 Reticolo territoriale nazionale Isole

Via mesagne

Lat. 40,586758312 Long. 17,805063917 Alt. m

Datum WGS84 Cerca zona..

Parametri sismici sito
 Parametri sismici
 Lat. (ED50) 40,587737535 Long. (ED50) 17,805951727

Classe dell'edificio II. Costruzioni il cui uso preveda norma. ▾

Coefficiente d'uso Cu 1

Vita nominale 50 anni

Interpolazione Media ponderata ▾

Spettro

Stato limite		Tr	ag	F0	TC*
		[anni]	[g]	[-]	[s]
Px	Operatività (SLO)	30	0,015	2,350	0,157
	Danno (SLD)	50	0,020	2,375	0,226
	Salvaguardia vita (SLV)	475	0,047	2,580	0,446
	Prevenzione collasso (SLC)	975	0,056	2,713	0,496
P1	Operatività (SLO)	30	0,016	2,363	0,158
	Danno (SLD)	50	0,021	2,381	0,228
	Salvaguardia vita (SLV)	475	0,047	2,605	0,443
	Prevenzione collasso (SLC)	975	0,056	2,767	0,463
P2	Operatività (SLO)	30	0,015	2,345	0,156
	Danno (SLD)	50	0,020	2,377	0,221
	Salvaguardia vita (SLV)	475	0,047	2,556	0,444
	Prevenzione collasso (SLC)	975	0,056	2,673	0,506
P3	Operatività (SLO)	30	0,015	2,337	0,157
	Danno (SLD)	50	0,020	2,375	0,225
	Salvaguardia vita (SLV)	475	0,048	2,554	0,451
	Prevenzione collasso (SLC)	975	0,057	2,676	0,514
P4	Operatività (SLO)	30	0,016	2,353	0,159
	Danno (SLD)	50	0,021	2,365	0,231
	Salvaguardia vita (SLV)	475	0,048	2,610	0,447
	Prevenzione collasso (SLC)	975	0,057	2,741	0,507

Il sito destinato alla sottostazione rientra anche esso nella categoria topografica T1.



Immagine della maglia elementare del reticolo di riferimento

Coordinate
 Reticolo territoriale nazionale Isole
 Via mesagne
 Lat. (ED50) 40,536732407 Long. (ED50) 17,719392394 Alt. m
 Datum WGS84 Cerca zona.
 Parametri sismici
 Lat. (ED50) 40,536732407 Long. (ED50) 17,719392394
 Classe dell'edificio II. Costruzioni il cui uso prevede norma.
 Coefficiente d'uso Cu 1
 Vita nominale 50 anni
 Interpolazione Media ponderata

	Stato limite	Tr [anni]	sg [g]	FO [-]	TC* [s]
Px	Operatività (SLO)	30	0,016	2,366	0,159
	Danno (SLD)	50	0,022	2,368	0,235
	Salvaguardia vita (SLV)	475	0,048	2,638	0,441
	Prevenzione collasso (SLC)	975	0,057	2,802	0,465
P1	Operatività (SLO)	30	0,017	2,371	0,160
	Danno (SLD)	50	0,022	2,367	0,237
	Salvaguardia vita (SLV)	475	0,048	2,648	0,439
	Prevenzione collasso (SLC)	975	0,057	2,817	0,457
P2	Operatività (SLO)	30	0,016	2,363	0,158
	Danno (SLD)	50	0,021	2,381	0,228
	Salvaguardia vita (SLV)	475	0,047	2,605	0,443
	Prevenzione collasso (SLC)	975	0,056	2,767	0,463
P3	Operatività (SLO)	30	0,016	2,353	0,159
	Danno (SLD)	50	0,021	2,365	0,231
	Salvaguardia vita (SLV)	475	0,048	2,610	0,447
	Prevenzione collasso (SLC)	975	0,057	2,741	0,507
P4	Operatività (SLO)	30	0,017	2,365	0,160
	Danno (SLD)	50	0,022	2,368	0,239
	Salvaguardia vita (SLV)	475	0,049	2,664	0,441
	Prevenzione collasso (SLC)	975	0,058	2,835	0,460

ELABORAZIONE PARAMETRI SISMICI

PREMESSA

Per valutare se un'opera strutturale è sicura bisogna far riferimento a degli *stati limite*, che possono verificarsi durante un determinato *periodo di riferimento* della stessa opera. Quindi per poter stimare l'azione sismica che dovrà essere utilizzata nelle verifiche agli stati limite o nella progettazione, bisognerà stabilire:

- in primo luogo la *vita nominale* dell'opera, che congiuntamente alla *classe d'uso*, permette di determinare il *periodo di riferimento*;
- una volta definito il periodo di riferimento e i diversi stati limite da considerare, dopo aver definito le relative *probabilità di superamento* è possibile stabilire il *periodo di ritorno* associato a ciascun stato limite;
- a questo punto è possibile definire la *pericolosità sismica di base* per il sito interessato alla realizzazione dell'opera, facendo riferimento agli studi condotti sul territorio nazionale dal Gruppo di Lavoro 2004 nell'ambito della convenzione-progetto S1 DPC-INGV 2004-2006 e i cui risultati sono stati promulgati mediante l'Ordinanza del Presidente del Consiglio dei Ministri (OPCM) 3519/2006.

VITA NOMINALE, CLASSI D'USO E PERIODO DI RIFERIMENTO

Nel **DM 17 gennaio 2018**-Aggiornamento delle «Norme tecniche per le costruzioni» il periodo di riferimento, che non può essere inferiore a 35 anni, è dato dalla seguente relazione:

$$V_R = V_N \cdot C_U \quad (2.1)$$

dove:

V_R = periodo di riferimento

V_N = vita nominale

C_U = coefficiente d'uso

La vita nominale di un'opera strutturale V_N , secondo le NTC 2018, è definita come il numero di anni nel quale la struttura, purché soggetta alla manutenzione ordinaria, deve potere essere usata per lo scopo al quale è destinata e viene definita attraverso tre diversi valori, a seconda dell'importanza dell'opera e perciò delle esigenze di durabilità.

I valori minimi di V_N da adottare per i diversi tipi di costruzione sono riportati nella Tab. 2.1. Tali valori possono essere anche impiegati per definire le azioni dipendenti dal tempo.

Tab. 2.1 – Valori minimi della Vita nominale V_N di progetto per i diversi tipi di costruzioni

TIPI DI COSTRUZIONI		Valori minimi di V_N (anni)
1	Costruzioni temporanee e provvisorie	10
2	Costruzioni con livelli di prestazioni	50
3	Costruzioni con livelli di prestazioni elevati	100

Nel caso specifico $V_N = 50$ anni.

In presenza di azioni sismiche, con riferimento alle conseguenze di una interruzione di operatività o di un eventuale collasso, le costruzioni sono suddivise in classi d'uso. Le NTC 2018 prevedono quattro classi d'uso a ciascuna delle quali è associato un valore del coefficiente d'uso:

Classe I: Costruzioni con presenza solo occasionale di persone, edifici agricoli. $C_U = 0.7$;

Classe II: Costruzioni il cui uso preveda normali affollamenti, senza contenuti pericolosi per l'ambiente e senza funzioni pubbliche e sociali essenziali. Industrie con attività non pericolose per l'ambiente. Ponti, opere infrastrutturali, reti viarie non ricadenti in Classe d'uso III o in Classe d'uso IV, reti ferroviarie la cui interruzione non provochi situazioni di emergenza. Dighe il cui collasso non provochi conseguenze rilevanti. $C_U = 1.0$;

Classe III: Costruzioni il cui uso preveda affollamenti significativi. Industrie con attività pericolose per l'ambiente. Reti viarie extraurbane non ricadenti in Classe d'uso IV. Ponti e reti ferroviarie la cui interruzione provochi situazioni di emergenza. Dighe rilevanti per le conseguenze di un loro eventuale collasso. $C_U = 1.5$;

Classe IV: Costruzioni con funzioni pubbliche o strategiche importanti, anche con riferimento alla gestione della protezione civile in caso di calamità. Industrie con attività particolarmente pericolose per l'ambiente. Reti viarie di tipo A o B, di cui al DM 5/11/2001, n. 6792, "Norme funzionali e geometriche per la costruzione delle strade", e di tipo C quando appartenenti ad itinerari di collegamento tra capoluoghi di provincia non altresì serviti da strade di tipo A o B. Ponti e reti ferroviarie di importanza critica per il mantenimento delle vie di comunicazione, particolarmente dopo un evento sismico. Dighe connesse al funzionamento di acquedotti e a impianti di produzione di energia elettrica. $C_U = 2.0$;

Nel caso in esame viene presa in considerazione la **classe d'uso II** a cui è associato il coefficiente d'uso $C_U = 1$.

Ricavati i valori di V_N e C_U , è possibile calcolare il periodo di riferimento V_R , che qui vale:

$$V_R = 50 * 1 = 50 \text{ anni.}$$

STATI LIMITE, PROBABILITÀ DI SUPERAMENTO E PERIODO DI RITORNO

Le NTC 2018 prendono in considerazione 4 possibili *stati limite* (SL) individuati facendo riferimento alle prestazioni della costruzione nel suo complesso, includendo gli elementi strutturali, quelli non strutturali e gli impianti: due sono *stati limite di esercizio* (SLE) e due sono *stati limite ultimi* (SLU). Uno stato limite è una condizione superata la quale l'opera non soddisfa più le esigenze per la quale è stata progettata.

Più in particolare le opere e le varie tipologie strutturali devono essere dotate di capacità di garantire le prestazioni previste per le condizioni di esercizio (sicurezza nei confronti di SLE) e di capacità di evitare crolli, perdite di equilibrio e di dissesti gravi, totali o parziali, che possano compromettere l'incolumità delle persone o comportare la perdita di beni, oppure provocare gravi danni ambientali e sociali, oppure mettere fuori servizio l'opera (sicurezza nei confronti di SLU).

Gli stati limite di esercizio sono:

- **Stato Limite di Operatività** (SLO): a seguito del terremoto la costruzione nel suo complesso, includendo gli elementi strutturali, quelli non strutturali, le apparecchiature rilevanti alla sua funzione, non deve subire danni ed interruzioni d'uso significativi;
- **Stato Limite di Danno** (SLD): a seguito del terremoto la costruzione nel suo complesso, includendo gli elementi strutturali, quelli non strutturali, le apparecchiature rilevanti alla sua funzione, subisce danni tali da non mettere a rischio gli utenti e da non compromettere significativamente la capacità di resistenza e di rigidità nei confronti delle azioni verticali ed orizzontali, mantenendosi immediatamente utilizzabile pur nell'interruzione d'uso di parte delle apparecchiature.

Gli stati limite ultimi sono:

- **Stato Limite di salvaguardia della Vita (SLV):** a seguito del terremoto la costruzione subisce rotture e crolli dei componenti non strutturali ed impiantistici e significativi danni dei componenti strutturali cui si associa una perdita significativa di rigidità nei confronti delle azioni orizzontali; la costruzione conserva invece una parte della resistenza e rigidità per azioni verticali e un margine di sicurezza nei confronti del collasso per azioni sismiche orizzontali;
- **Stato Limite di prevenzione del Collasso (SLC):** a seguito del terremoto la costruzione subisce gravi rotture e crolli dei componenti non strutturali ed impiantistici e danni molto gravi dei componenti strutturali; la costruzione conserva ancora un margine di sicurezza per azioni verticali ed un esiguo margine di sicurezza nei confronti del collasso per azioni orizzontali.

Ad ogni stato limite è associata una *probabilità di superamento* P_{VR} (Tabella 3.1), ovvero la probabilità che, nel periodo di riferimento V_R , si verifichi almeno un evento sismico ($n \geq 1$) di a_g prefissata (a_g = accelerazione orizzontale massima del suolo) avente frequenza media annua di ricorrenza $\lambda = 1/T_R$ (T_R = periodo di ritorno).

Tabella 3.1- Stati limite e rispettive probabilità di superamento, nel periodo di riferimento V_R

Stato limite di esercizio: operatività	SLO	$P_{VR} = 81\%$
Stato limite di esercizio: danno	SLD	$P_{VR} = 63\%$
Stati limite ultimo: salvaguardia della vita	SLV	$P_{VR} = 10\%$
Stati limite ultimo: di prevenzione del collasso	SLC	$P_{VR} = 5\%$

Fissati V_R e P_{VR} associata ad ogni stato limite, è possibile calcolare il periodo di ritorno dell'azione sismica T_R , espresso in anni, mediante l'espressione:

$$T_R = -\frac{V_R}{\ln(1 - P_{VR})} \quad (3.1)$$

Tale relazione tra P_{VR} (probabilità) e T_R (statistica) risulta biunivoca poiché utilizza la distribuzione discreta Poissoniana.

Poiché è $V_R = 50$ anni, il tempo di ritorno T_R sarà:

Tabella 3.2- Stati limite e rispettivi tempi di ritorno, nel periodo di riferimento V_R

Stato limite di esercizio: operatività	SLO	$T_R = 30$
Stato limite di esercizio: danno	SLD	$T_R = 50$
Stati limite ultimo: salvaguardia della vita	SLV	$T_R = 475$
Stati limite ultimo: di prevenzione del collasso	SLC	$T_R = 975$

DEFINIZIONE DELLA PERICOLOSITÀ SISMICA DI BASE

La pericolosità sismica di base, cioè le caratteristiche del moto sismico atteso al sito di interesse, nelle NTC 2018, per una determinata probabilità di superamento, si può ritenere definita quando vengono designati

un'accelerazione orizzontale massima (a_g) ed il corrispondente spettro di risposta elastico in accelerazione, riferiti ad un suolo rigido e ad una superficie topografica orizzontale.

Per poter definire la pericolosità sismica di base le NTC 2018 si rifanno ad una procedura basata sui risultati disponibili anche sul sito web dell'INGV <http://esse1-gis.mi.ingv.it/>, nella sezione "Mappe interattive della pericolosità sismica".

Secondo le NTC 2018 le forme spettrali sono definite per 9 differenti periodi di ritorno T_R (30, 50, 72, 101, 140, 201, 475, 975 e 2475 anni) a partire dai valori dei seguenti parametri riferiti a terreno rigido orizzontale, cioè valutati in condizioni ideali di sito, definiti nell'**Allegato A** alle NTC08:

a_g = accelerazione orizzontale massima;

F_0 = valore massimo del fattore di amplificazione dello spettro in accelerazione orizzontale;

T_C^* = periodo di inizio del tratto a velocità costante dello spettro in accelerazione orizzontale.

I tre parametri si ricavano per il 50° percentile ed attribuendo a:

a_g , il valore previsto dalla pericolosità sismica S1

F_0 e T_C^* i valori ottenuti imponendo che le forme spettrali in accelerazione, velocità e spostamento previste dalle NTC08 scartino al minimo dalle corrispondenti forme spettrali previste dalla pericolosità sismica S1 (il minimo è ottenuto ai minimi quadrati, su valori normalizzati).

I valori di questi parametri vengono forniti in tabella (Tabella 4.1), contenuta nell'**Allegato B** delle NTC08 (a cui le NTC 2018 fanno riferimento), per i 10751 punti di un reticolo di riferimento in cui è suddiviso il territorio nazionale, identificati dalle coordinate geografiche longitudine e latitudine.

Tabella 4.1- Stralcio della tabella contenuta nell'**Allegato B** delle NTC08, che fornisce i 3 parametri di pericolosità sismica, per diversi periodi di ritorno e per ogni nodo del reticolo che viene identificato da un ID e dalle coordinate geografiche.

ID	LON	LAT	$T_R = 30$			$T_R = 50$			$T_R = 72$			$T_R = 101$		
			a_g	F_0	T_c^*	a_g	F_0	T_c^*	a_g	F_0	T_c^*	a_g	F_0	T_c^*
13111	6.5448	45.1340	0.263	2.500	0.180	0.340	2.510	0.210	0.394	2.550	0.220	0.469	2.490	0.240
13333	6.5506	45.0850	0.264	2.490	0.180	0.341	2.510	0.210	0.395	2.550	0.220	0.469	2.490	0.240
13555	6.5564	45.0350	0.264	2.500	0.180	0.340	2.510	0.200	0.393	2.550	0.220	0.466	2.500	0.240
13777	6.5621	44.9850	0.263	2.500	0.180	0.338	2.520	0.200	0.391	2.550	0.220	0.462	2.510	0.240
12890	6.6096	45.1880	0.284	2.460	0.190	0.364	2.510	0.210	0.431	2.500	0.220	0.509	2.480	0.240
13112	6.6153	45.1390	0.286	2.460	0.190	0.366	2.510	0.210	0.433	2.500	0.220	0.511	2.480	0.240
13334	6.6210	45.0890	0.288	2.460	0.190	0.367	2.510	0.210	0.434	2.500	0.220	0.511	2.490	0.240
13556	6.6268	45.0390	0.288	2.460	0.190	0.367	2.510	0.210	0.433	2.510	0.220	0.510	2.490	0.240
13778	6.6325	44.9890	0.288	2.460	0.190	0.366	2.520	0.210	0.430	2.510	0.220	0.507	2.500	0.240
14000	6.6383	44.9390	0.286	2.470	0.190	0.363	2.520	0.210	0.426	2.520	0.220	0.502	2.500	0.240
14222	6.6439	44.8890	0.284	2.470	0.190	0.360	2.530	0.210	0.421	2.530	0.220	0.497	2.500	0.240
12891	6.6803	45.1920	0.306	2.430	0.200	0.389	2.500	0.210	0.467	2.470	0.230	0.544	2.490	0.230
10228	6.6826	45.7940	0.283	2.420	0.200	0.364	2.460	0.220	0.430	2.460	0.240	0.505	2.440	0.250
13113	6.6860	45.1430	0.309	2.430	0.200	0.391	2.510	0.210	0.470	2.470	0.230	0.546	2.490	0.230
10450	6.6885	45.7450	0.278	2.440	0.200	0.356	2.480	0.220	0.415	2.500	0.230	0.485	2.470	0.250
13335	6.6915	45.0930	0.310	2.430	0.200	0.392	2.510	0.210	0.470	2.480	0.230	0.546	2.500	0.230
10672	6.6942	45.6950	0.275	2.450	0.200	0.351	2.490	0.210	0.406	2.520	0.230	0.475	2.490	0.250
13557	6.6973	45.0430	0.311	2.440	0.200	0.392	2.520	0.210	0.469	2.480	0.230	0.545	2.500	0.230
13779	6.7029	44.9930	0.310	2.440	0.200	0.391	2.520	0.210	0.467	2.480	0.230	0.543	2.500	0.230

Qualora la pericolosità sismica del sito sul reticolo di riferimento non consideri il periodo di ritorno T_R corrispondente alla V_R e P_{V_R} fissate, il valore del generico parametro p ad esso corrispondente potrà

essere ricavato per interpolazione (Figura 4.1), a partire dai dati relativi ai tempi di ritorno previsti nella pericolosità di base, utilizzando la seguente espressione dell'Allegato A alle NTC08:

$$\log(p) = \log(p_1) + \log\left(\frac{p_2}{p_1}\right) \cdot \log\left(\frac{p_2}{p_1}\right) \cdot \left[\log\left(\frac{T_{R2}}{T_{R1}}\right)\right]^{-1} \quad (4.1)$$

nella quale p è il valore del parametro di interesse (a_g, F_o, T_C^*) corrispondente al periodo di ritorno T_R desiderato, mentre $p_{1,2}$ è il valore di tale parametro corrispondente al periodo di ritorno $T_{R1,2}$.

Per un qualunque punto del territorio non ricadente nei nodi del reticolo di riferimento, i valori dei parametri p possono essere calcolati come media pesata dei valori assunti da tali parametri nei quattro vertici della maglia elementare del reticolo di riferimento contenente il punto in esame, utilizzando l'espressione dell'Allegato A alle NTC08:

$$p = \frac{\sum_{i=1}^4 p_i d_i}{\sum_{i=1}^4 d_i} \quad (4.2)$$

nella quale p è il valore del parametro di interesse (a_g, F_o, T_C^*) corrispondente al punto considerato, p_i è il valore di tale parametro nell' i -esimo vertice della maglia elementare contenente il punto in esame e d_i è la distanza del punto in esame dall' i -esimo vertice della suddetta maglia.

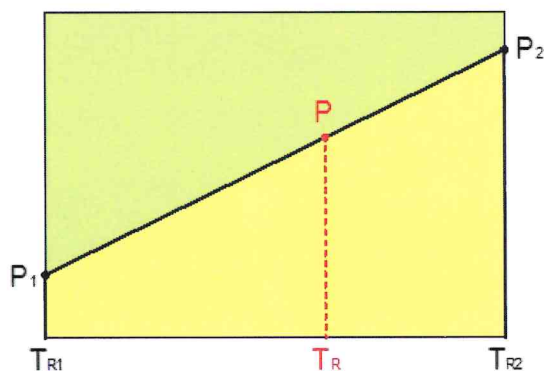


Figura 4.1 - Interpolazione dei periodi di ritorno, per ottenere i parametri di pericolosità sismica, in accordo alla procedura delle NTC08.

La procedura per interpolare le coordinate geografiche è schematizzata nella Figura 4.2

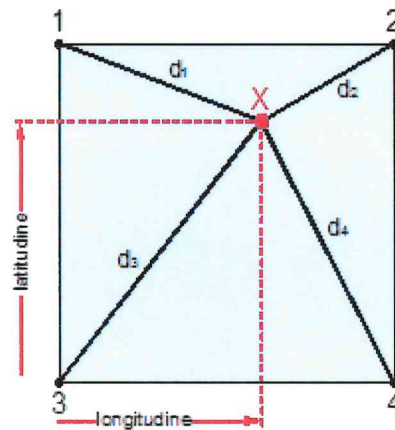


Figura 4.2 - Interpolazione delle coordinate geografiche, per ottenere i parametri di pericolosità sismica, in accordo alla procedura delle NTC08.

Pertanto per poter procedere all'interpolazione delle coordinate geografiche, in accordo alla procedura delle NTC08, bisogna calcolare le distanze che intercorrono tra i 4 punti del reticolo e il punto di interesse. Questo calcolo può essere eseguito approssimativamente utilizzando le formule della trigonometria sferica, che danno la distanza geodetica tra due punti, di cui siano note le coordinate geografiche. Utilizzando quindi il teorema di Eulero, la distanza d tra due punti, di cui siano note latitudine e longitudine, espresse però in radianti, si ottiene dall'espressione seguente:

$$d = R \cdot \arccos[\sin(\text{lat}\beta) \cdot \sin(\text{lat}\alpha) + \cos(\text{lat}\beta) \cdot \cos(\text{lat}\alpha) \cdot \cos(\text{lon}\alpha - \text{lon}\beta)] \quad (4.3)$$

dove $R = 6371$ è il raggio medio terrestre in km, mentre $\text{lat}\alpha$, $\text{lon}\alpha$, $\text{lat}\beta$ e $\text{lon}\beta$ sono la latitudine e la longitudine, espresse in radianti, di due punti A e B di cui si vuole calcolare la distanza.

La formula di interpolazione sopra proposta, semplice da usare, presenta però l'inconveniente di condurre a valori di pericolosità lievemente diversi per punti affacciati ma appartenenti a maglie contigue. La modestia delle differenze (scostamenti in termini di PGA dell'ordine di $\pm 0,01g$ ossia della precisione dei dati) a fronte della semplicità d'uso, rende tale stato di cose assolutamente accettabile.

Qualora si vogliano rappresentazioni continue della funzione interpolata, si dovrà ricorrere a metodi di interpolazione più complessi, ad esempio i polinomi di Lagrange.

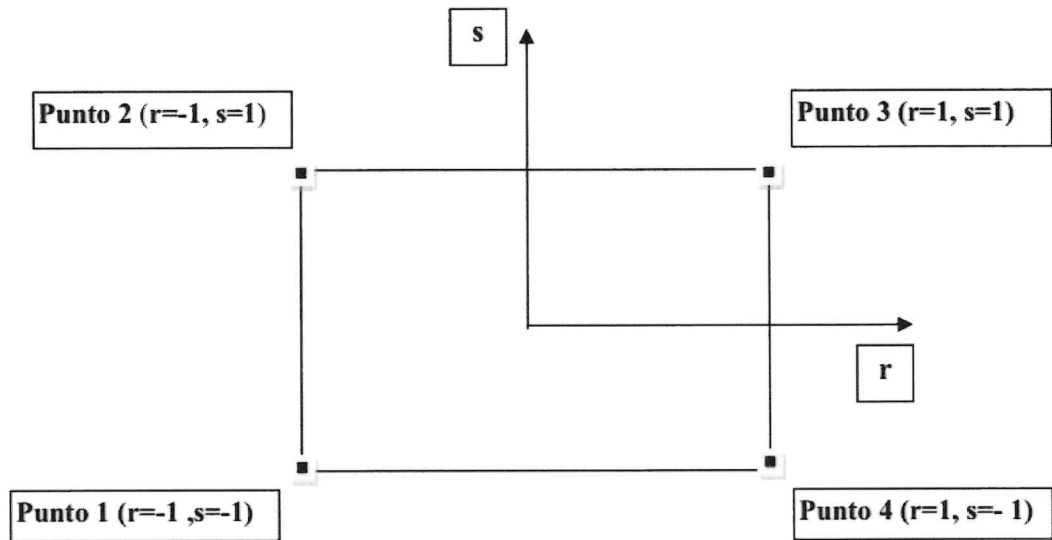


Figura 4.3 - Applicazione dell'interpolazione bilineare.

Definiti i 4 vertici di una generica maglia i polinomi di Lagrange sono così determinati:

$$h_1 = (1-r) \cdot (1-s)/4 \quad (4.4)$$

$$h_2 = (1-r) \cdot (1+s)/4 \quad (4.5)$$

$$h_3 = (1+r) \cdot (1+s)/4 \quad (4.6)$$

$$h_4 = (1+r) \cdot (1-s)/4 \quad (4.7)$$

Tra le coordinate x, y di un punto generico e le coordinate r, s dello stesso punto valgono le seguenti relazioni:

$$4x = \sum_{i=1}^4 h_i \cdot x_i = [(1-r) \cdot (1-s) \cdot x_1 + (1-r) \cdot (1+s) \cdot x_2 + (1+r) \cdot (1+s) \cdot x_3 + (1+r) \cdot (1-s) \cdot x_4] \quad (4.8)$$

$$4y = \sum_{i=1}^4 h_i \cdot y_i = [(1-r) \cdot (1-s) \cdot y_1 + (1-r) \cdot (1+s) \cdot y_2 + (1+r) \cdot (1+s) \cdot y_3 + (1+r) \cdot (1-s) \cdot y_4] \quad (4.9)$$

La soluzione del sistema di equazioni non lineari è ottenuta iterativamente e, tramite i valori di r ed s, si determinano i parametri a_g , F_0 , T_C^* dall'equazione:

$$4p = \sum_{i=1}^4 h_i \cdot p_i = [(1-r) \cdot (1-s) \cdot p_1 + (1-r) \cdot (1+s) \cdot p_2 + (1+r) \cdot (1+s) \cdot p_3 + (1+r) \cdot (1-s) \cdot p_4] \quad (4.10)$$

Dove p rappresenta il parametro cercato.

Pericolosità sismica di sito

Il moto generato da un terremoto in un sito dipende dalle particolari condizioni locali, cioè dalle caratteristiche topografiche e stratigrafiche dei depositi di terreno e degli ammassi rocciosi e dalle proprietà fisiche e meccaniche dei materiali che li costituiscono. Per la singola opera o per il singolo sistema geotecnico la risposta sismica locale consente di definire le modifiche che un segnale sismico subisce, a causa dei fattori anzidetti, rispetto a quello di un sito di riferimento rigido con superficie topografica orizzontale (sottosuolo di categoria A, definito al § 3.2.2).

Coefficienti sismici

I coefficienti sismici orizzontale k_h e verticale k_v dipendono del punto in cui si trova il sito oggetto di analisi e del tipo di opera da calcolare. Il parametro di entrata per il calcolo è il tempo di ritorno (T_R) dell'evento sismico che è valutato come segue:

$$T_R = -\frac{V_R}{\ln(1-P_{VR})} \quad (5.1)$$

Con V_R vita di riferimento della costruzione e P_{VR} probabilità di superamento, nella vita di riferimento, associata allo stato limite considerato. La vita di riferimento dipende dalla vita nominale della costruzione e dalla classe d'uso della costruzione (in linea con quanto previsto al punto 2.4.3 delle NTC). In ogni caso V_R non può essere inferiore a 35 anni.

Stabilità dei pendii e fondazioni

Nel caso di stabilità dei pendii i coefficienti k_h e k_v sono così determinati:

$$k_h = \beta_s \cdot \left(\frac{a_{\max}}{g} \right) \quad (5.2)$$

$$k_v = \pm 0.5 \cdot k_h \quad (5.3)$$

Con

β_s coefficiente di riduzione dell'accelerazione massima attesa al sito;

a_{\max} accelerazione orizzontale massima attesa al sito;

g accelerazione di gravità.

I valori di β_s sono riportati nella tabella 5.1.

Tabella 5.1- Coefficienti di riduzione dell'accelerazione massima attesa al sito.

	Categoria di sottosuolo	
	A	B, C, D, E
	β_s	β_s
$0.2 < a_g(g) \leq 0.4$	0.30	0.28
$0.1 < a_g(g) \leq 0.2$	0.27	0.24
$a_g(g) \leq 0.1$	0.20	0.20

Tutti i fattori presenti nelle precedenti formule dipendono dall'accelerazione massima attesa al sito di riferimento rigido e dalle caratteristiche geomorfologiche del territorio.

$$a_{\max} = S_S \cdot S_T \cdot a_g \quad (5.4)$$

S_S (effetto di amplificazione stratigrafica) ($0.90 \leq S_S \leq 1.80$) è funzione di F_0 (Fattore massimo di amplificazione dello spettro in accelerazione orizzontale) e della categoria di suolo (A, B, C, D, E), e del rapporto a_g/g . S_T (effetto di amplificazione topografica), varia con il variare delle quattro categorie topografiche:

$$\mathbf{T1: } S_T = 1.0; \mathbf{T2: } S_T = 1.20; \mathbf{T3: } S_T = 1.20; \mathbf{T4: } S_T = 1.40.$$

Fronti scavo e rilevati

Il comportamento in condizioni sismiche dei fronti di scavo e dei rilevati può essere analizzato con gli stessi metodi impiegati per i pendii naturali; specificamente mediante metodi pseudostatici, metodi degli spostamenti e metodi avanzati di analisi dinamica.

Nei metodi pseudostatici l'azione sismica è rappresentata da un'azione statica equivalente, costante nello spazio e nel tempo, proporzionale al peso W del volume di terreno potenzialmente instabile. Le componenti orizzontale e verticale di tale forza devono essere ricavate in funzione delle proprietà del moto atteso nel volume di terreno potenzialmente instabile e della capacità di tale volume di subire spostamenti senza significative riduzioni di resistenza.

In mancanza di studi specifici, le componenti orizzontale e verticale della forza statica equivalente possono esprimersi come

$$F_h = k_h \cdot W \text{ ed } F_v = k_v \cdot W$$

con k_h e k_v rispettivamente pari ai coefficienti sismici orizzontale e verticale definiti nel § 7.11.3.5.2 e adottando i seguenti valori del coefficiente di riduzione dell'accelerazione massima attesa al sito:

$\beta_s = 0.38$ nelle verifiche dello stato limite ultimo (SLV)

$\beta_s = 0.47$ nelle verifiche dello stato limite di esercizio (SLD).

Nelle verifiche di sicurezza si deve controllare che la resistenza del sistema sia maggiore delle azioni (condizione [6.2.1]) impiegando lo stesso approccio di cui al § 6.8.2 per le opere di materiali sciolti e fronti

di scavo, ponendo pari all'unità i coefficienti parziali sulle azioni e sui parametri geotecnici (§ 7.11.1) e impiegando le resistenze di progetto calcolate con un coefficiente parziale pari a $\gamma_R = 1.2$.

Si deve inoltre tener conto della presenza di manufatti interagenti con l'opera.

Muri di sostegno

Per i muri di sostegno pendii i coefficienti k_h e k_v sono così determinati:

$$k_h = \beta_m \cdot \left(\frac{a_{\max}}{g} \right) \quad (5.5)$$

$$k_v = \pm 0.5 \cdot k_h \quad (5.6)$$

Con:

β_m coefficiente di riduzione dell'accelerazione massima attesa al sito, per i muri che non siano in grado di subire spostamenti relativi rispetto al terreno assume valore unitario altrimenti assume i valori riportati di seguito.

$\beta_m = 0.38$ nelle verifiche allo stato limite ultimo (SLV)

$\beta_m = 0.47$ nelle verifiche allo stato limite di esercizio (SLD).

I valori del coefficiente β_m possono essere incrementati in ragione di particolari caratteristiche prestazionali del muro, prendendo a riferimento il diagramma di in Figura 5.2.

a_{\max} accelerazione orizzontale massima attesa al sito;

g accelerazione di gravità.

Tutti i fattori presenti nelle precedenti formule dipendono dall'accelerazione massima attesa sul sito di riferimento rigido e dalle caratteristiche geomorfologiche del territorio.

$$a_{\max} = S_S \cdot S_T \cdot a_g \quad (5.7)$$

S è il coefficiente comprendente l'effetto di amplificazione stratigrafica S_S e di amplificazione topografica S_T .

a_g accelerazione orizzontale massima attesa su sito di riferimento rigido.

Paratie

In mancanza di studi specifici, a_h (accelerazione orizzontale) può essere legata all'accelerazione di picco a_{\max} attesa nel volume di terreno significativo per l'opera mediante la relazione:

$$a_h = k_h \cdot g = \alpha \cdot \beta \cdot a_{\max} \quad (5.8)$$

dove:

g è l'accelerazione di gravità;

k_h è il coefficiente sismico in direzione orizzontale;

$\alpha \leq 1$ è un coefficiente che tiene conto della deformabilità dei terreni interagenti con l'opera. Può essere ricavato a partire dall'altezza complessiva H della paratia e dalla categoria di sottosuolo mediante il diagramma in Figura 5.1:

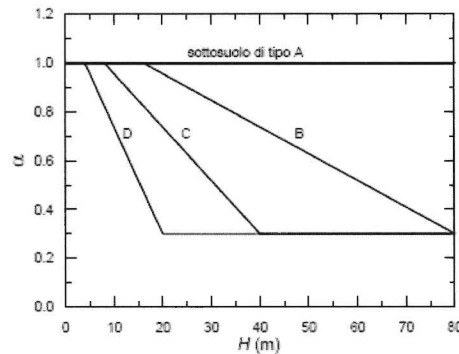


Figura 5.1 - Diagramma per la valutazione del coefficiente di deformabilità α .

Per il sottosuolo di categoria E si utilizzano le curve dei sottosuoli C o D in dipendenza dei valori assunti dalla velocità equivalente V_s . Per la valutazione della spinta nelle condizioni di equilibrio limite passivo deve porsi $\alpha = 1$.

Il valore del coefficiente β può essere ricavato dal diagramma riportato in Figura 5.2, in funzione del massimo spostamento u_s che l'opera può tollerare senza riduzioni di resistenza.

Per $u_s = 0$ si ha $\beta = 1$; $u_s \leq 0.005 \cdot H$

Se $\alpha \cdot \beta \leq 0.2$ deve assumersi $k_h = 0.2 \cdot a_{\max}/g$

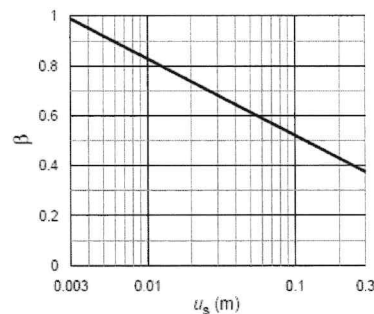


Figura 5.2 - Diagramma per la valutazione del coefficiente di spostamento β .

L'accelerazione di picco a_{\max} è valutata mediante un'analisi di risposta sismica locale, ovvero come

$$a_{\max} = S_S \cdot S_T \cdot a_g \quad (5.9)$$

dove:

S è il coefficiente che comprende l'effetto dell'amplificazione stratigrafica (S_S) e dell'amplificazione topografica (S_T), di cui al § 3.2.3.2;

a_g è l'accelerazione orizzontale massima attesa su sito di riferimento rigido.

Pericolosità' sismica

Le norme tecniche per le costruzioni (NCT) adottano un approccio prestazionale alla progettazione e alla verifica delle strutture nuove e di quelle esistenti.

Nei riguardi dell'azione sismica l'obiettivo è il controllo del livello di danneggiamento della costruzione a fronte dei terremoti che possono verificarsi nel sito.

La pericolosità sismica deve essere descritta in modo da renderla compatibile con le NCT e da dotarla di un sufficiente livello di dettaglio, sia in termini geografici che in termini temporali; tali condizioni possono ritenersi soddisfatte se i risultati dello studio di pericolosità sono forniti:

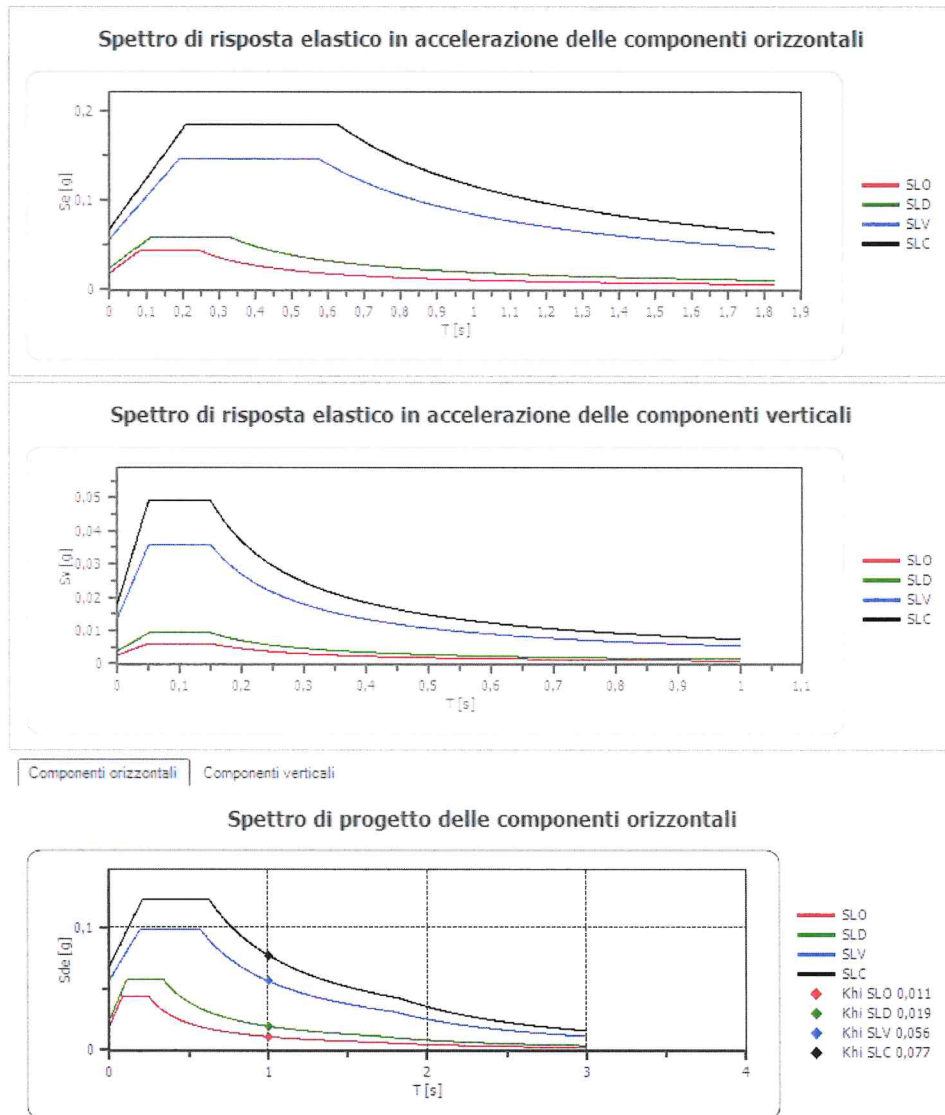
- In termini di accelerazione orizzontale massima a_g e dei parametri di riferimento i cui nodi sono sufficientemente vicini fra loro ;
- Per diverse probabilità di superamento in 50 anni e/o diversi periodi di ritorno TR ricadenti in un intervallo di riferimento compreso tra 30 e 2475 anni estremi esclusi;

Le azioni di progetto si ricavano, ai sensi delle NCT, dalle accelerazioni a_g , e dalle relative forme spettrali.

Le forme spettrali previste dalle NCT sono definite, su sito di riferimento rigido orizzontale, in funzione dei tre parametri:

- a_g accelerazione orizzontale massima del terreno
- F_0 valore massimo del fattore di amplificazione dello spettro in accelerazione orizzontale
- T^*c periodo di inizio del tratto a velocità costante dello spettro in accelerazione orizzontale.

I parametri di pericolosità sismica nell'area interessata dall'impianto agrovoltaico sono:

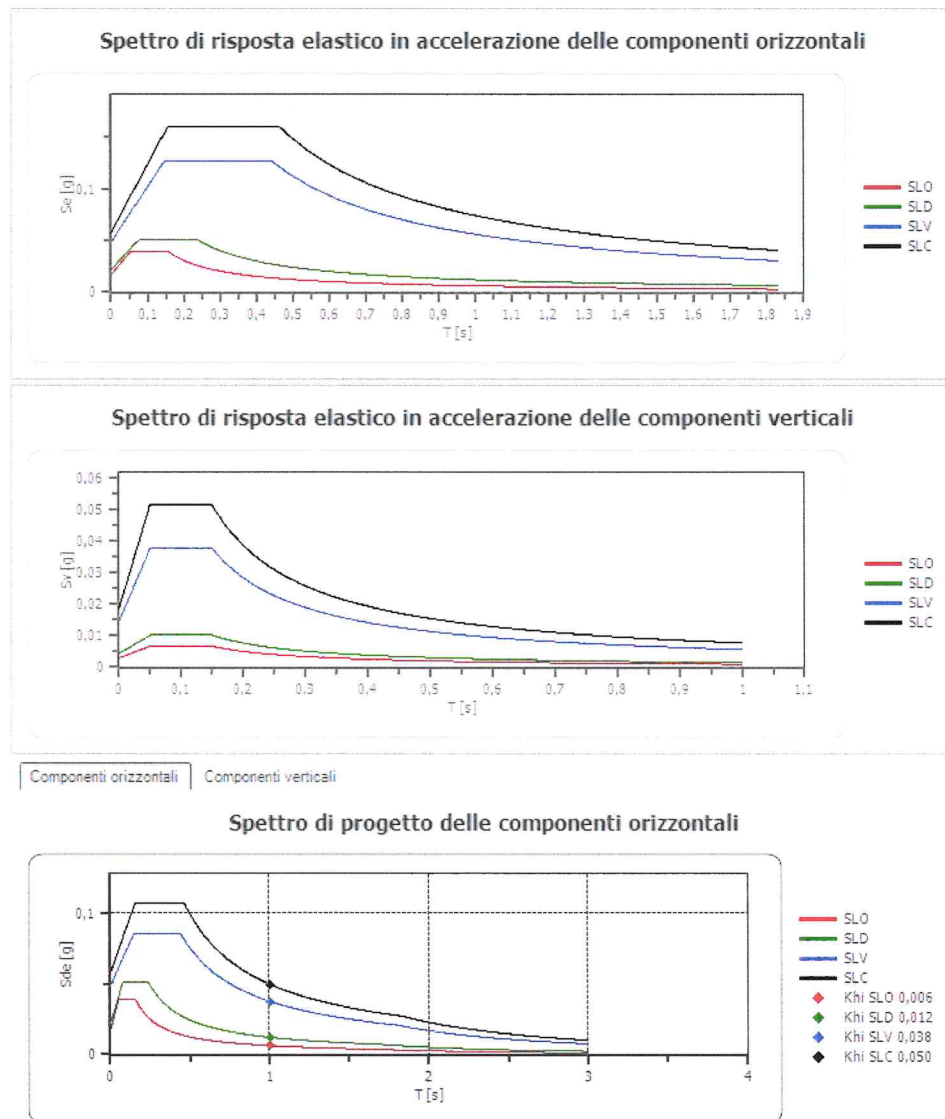


	cu	ag [g]	F0 [-]	Tc* [s]	Ss [-]	Cc [-]	St [-]	S [-]	n [-]	TB [s]	TC [s]	TD [s]	S
SLO	1.0	0,015	2,350	0,157	1,200	1,590	1,000	1,200	1,000	0,083	0,250	1,661	
SLD	1.0	0,020	2,375	0,226	1,200	1,480	1,000	1,200	1,000	0,111	0,334	1,981	
SLV	1.0	0,047	2,580	0,446	1,200	1,290	1,000	1,200	1,000	0,192	0,575	1,789	
SLC	1.0	0,056	2,713	0,496	1,200	1,270	1,000	1,200	1,000	0,210	0,629	1,826	

	cu	ag [g]	F0 [-]	Tc* [s]	Ss [-]	Cc [-]	St [-]	S [-]	n [-]	TB [s]	TC [s]	TD [s]	S
SLO	1.0	0,015	2,350	0,157	1	1,590	1,000	1,000	1,000	0,050	0,150	1,000	
SLD	1.0	0,020	2,375	0,226	1	1,480	1,000	1,000	1,000	0,050	0,150	1,000	
SLV	1.0	0,047	2,580	0,446	1	1,290	1,000	1,000	1,000	0,050	0,150	1,000	
SLC	1.0	0,056	2,713	0,496	1	1,270	1,000	1,000	1,000	0,050	0,150	1,000	

	cu	ag [g]	F0 [-]	Tc* [s]	Ss [-]	Cc [-]	St [-]	S [-]	q [-]	TB [s]	TC [s]	TD [s]	S
SLO orizzontale	1.0	0,015	2,350	0,157	1,200	1,590	1,000	1,200	1,000	0,083	0,250	1,661	
SLO verticale	1.0	0,015	2,350	0,157	1,200	1,590	1,000	1,000	1,000	0,050	0,150	1,000	
SLD orizzontale	1.0	0,020	2,375	0,226	1,200	1,480	1,000	1,200	1,000	0,111	0,334	1,981	
SLD verticale	1.0	0,020	2,375	0,226	1,200	1,480	1,000	1,000	1,000	0,050	0,150	1,000	
SLV orizzontale	1.0	0,047	2,580	0,446	1,200	1,290	1,000	1,200	1,500	0,192	0,575	1,789	
SLV verticale	1.0	0,047	2,580	0,446	1,200	1,290	1,000	1,000	1,500	0,050	0,150	1,000	
SLC orizzontale	1.0	0,056	2,713	0,496	1,200	1,270	1,000	1,200	1,500	0,210	0,629	1,826	
SLC verticale	1.0	0,056	2,713	0,496	1,200	1,270	1,000	1,000	1,500	0,050	0,150	1,000	

I parametri di pericolosità sismica nell'area interessata dalla sottostazione sono:



	cu	ag [g]	F0 [-]	Tc* [s]	Ss [-]	Cc [-]	St [-]	S [-]	η [-]	TB [s]	TC [s]	TD [s]	S
SLO	1.0	0,016	2,366	0,159	1,000	1,000	1,000	1,000	1,000	0,053	0,159	1,666	
SLD	1.0	0,022	2,368	0,235	1,000	1,000	1,000	1,000	1,000	0,078	0,235	1,687	
SLV	1.0	0,048	2,638	0,441	1,000	1,000	1,000	1,000	1,000	0,147	0,441	1,793	
SLC	1.0	0,057	2,802	0,465	1,000	1,000	1,000	1,000	1,000	0,155	0,465	1,828	

	cu	ag [g]	F0 [-]	Tc* [s]	Ss [-]	Cc [-]	St [-]	S [-]	η [-]	TB [s]	TC [s]	TD [s]	S
SLO	1.0	0,016	2,366	0,159	1	1,000	1,000	1,000	1,000	0,050	0,150	1,000	
SLD	1.0	0,022	2,368	0,235	1	1,000	1,000	1,000	1,000	0,050	0,150	1,000	
SLV	1.0	0,048	2,638	0,441	1	1,000	1,000	1,000	1,000	0,050	0,150	1,000	
SLC	1.0	0,057	2,802	0,465	1	1,000	1,000	1,000	1,000	0,050	0,150	1,000	

	cu	ag [g]	F0 [-]	Tc* [s]	Ss [-]	Cc [-]	St [-]	S [-]	q [-]	TB [s]	TC [s]	TD [s]	S
SLO orizzontale	1.0	0,016	2,366	0,159	1,000	1,000	1,000	1,000	1,000	0,053	0,159	1,	
SLO verticale	1.0	0,016	2,366	0,159	1,000	1,000	1,000	1,000	1,000	0,050	0,150	1,	
SLD orizzontale	1.0	0,022	2,368	0,235	1,000	1,000	1,000	1,000	1,000	0,078	0,235	1,	
SLD verticale	1.0	0,022	2,368	0,235	1,000	1,000	1,000	1,000	1,000	0,050	0,150	1,	
SLV orizzontale	1.0	0,048	2,638	0,441	1,000	1,000	1,000	1,000	1,500	0,147	0,441	1,	
SLV verticale	1.0	0,048	2,638	0,441	1,000	1,000	1,000	1,000	1,500	0,050	0,150	1,	
SLC orizzontale	1.0	0,057	2,802	0,465	1,000	1,000	1,000	1,000	1,500	0,155	0,465	1,	
SLC verticale	1.0	0,057	2,802	0,465	1,000	1,000	1,000	1,000	1,500	0,050	0,150	1,	

Ruffano, febbraio 2022

IL TECNICO

Dr. Geol. Marcello DE DONATIS

